

# 千葉市少年の家 ふれあい橋(仮称)の設計と施工

御園 功一<sup>\*1</sup> 鈴木 隆彦<sup>\*2</sup> 元吉 敏喜<sup>\*3</sup> 川上 育<sup>\*4</sup> 辻 裕治<sup>\*5</sup>

## 1. はじめに

千葉市少年自然の家（仮称）は、「民間資金等の活用による公共施設の整備等の促進に関する法律（PFI推進法）」に基づき、千葉県長生郡長柄町の県立笠森鶴舞自然公園内に建設される生涯学習施設である。本施設はさまざまな体験活動を展開するための施設として、現在、2005年4月のオープンに向け、建設が進められている。

本橋梁は、メイン施設エリア（建物集積ゾーン）とキャンプセンターエリア（ログハウスゾーン）を結ぶ橋梁として計画され、施設周辺の環境保全に配慮しつつ全体計画に調和するような橋梁形式が求められ、吊床版橋が採用された。

本稿では、その設計と施工について報告する。

## 2. 工事概要

### 2.1 橋梁概要

本橋梁は、橋長70.0m、幅員3.5mの歩行者専用橋（ただし、維持管理用の軽トラック程度の通行を見込む）として設計された。以下に橋梁概要をまた図-2に構造一般図を示す。

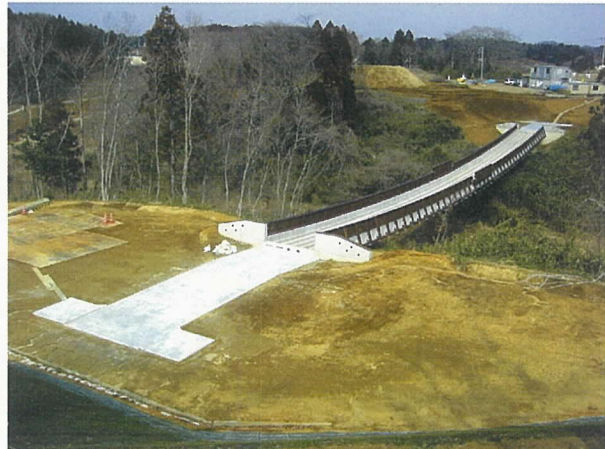


写真-1 完成

表-1 使用材料

|        |         |                      |
|--------|---------|----------------------|
| コンクリート | プレキャスト部 | 40 N/mm <sup>2</sup> |
|        | 場所打ち部   | 40 N/mm <sup>2</sup> |
| PC 鋼 材 | 1次ケーブル  | SEEE F 100           |
|        | 2次ケーブル  | 12 S 12.7            |
| 鉄 筋    |         | SD 295               |



図-1 千葉少年の家（仮称）平面図

\*1 Koichi MISONO：千葉市建設局 土木部 工務課

\*2 Takahiko SUZUKI：(株)オオバ東京支店 土木設計部 道路・構造設計課

\*3 Toshiaki MOTOYOSHI：西部建設(株) 東関東支店

\*4 Takeshi KAWAKAMI：(株)富士ピー・エス 東京支店 技術部 設計課

\*5 Yuji TSUJI：(株)富士ピー・エス 東京支店 技術部 設計課

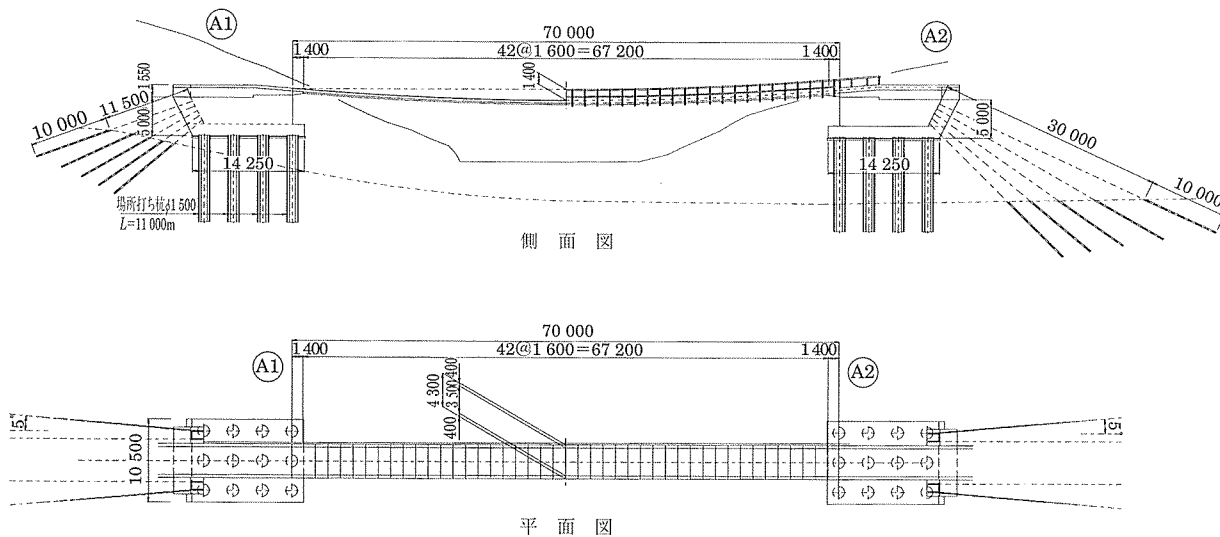


図-2 構造一般図

## 工事内容

橋種：歩道橋

構造形式：PC 吊床版橋

橋長：70.0 m

幅員構成：全幅員 4.3 m

有効幅員 3.5 m

斜角 90° 00' 00"

活荷重： $W = 2.0 \text{ kN/m}^2$ 

基本サグ：1.4 m

温度変化： $\pm 20^\circ\text{C}$ 

転体形式：アンカー式橋台

基礎形式：杭基礎 場所打ち杭  $\phi 1500$ 

## 2.2 橋梁の特色

本施設は、自然体験活動や生活体験活動を目的として計画されていることから、橋梁区間においても周囲と調和の取れるような特色を備えている。以下に概要を示す。

## ①縦断勾配

本橋梁は直路式吊床版橋が採用されている。サグ比は、これまでの実績から  $1/30 \sim 1/50$  の範囲に分布しており、設計吊支間が長くなれば若干サグ比が大きくなる傾向にあり、平均で  $1/37$  程度となっている。

本橋梁は、車いまでの利用を考慮し、最大勾配が 8 %となるようにサグ量 1.4 m (サグ比  $1/50$ ) に設定した。

## ②景観を考慮した付属物

橋梁外観についても、周囲との調和を重視した断面としている。図-3に断面図を示す。

本橋梁はメイン施設エリアとキャンプセンターエリアを短距離で結ぶため給水管、污水管、電線を添設することになっている。設置は歩道部分を床上げすることで床下設置とし、表面に見えない構造となっている。この床上げによって地覆形状はこれまでの吊床版の実績と比較して、大きな形状となった。また、地覆はプレキャスト床版と一体で製作した。

床上げ材・高欄は周囲との調和を主眼にして、南米産の

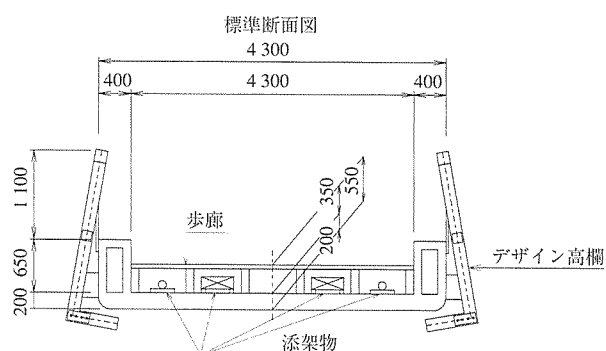


図-3 断面図

木材を使用したものが採用された。それぞれの重量は以下のとおりである。

給水管： 300 N/m

污水管： 300 N/m

電線： 400 N/m × 2 連 (ケーブルラック)

木製床版： 1,750 N/m

木製高欄： 1,000 N/m

## 3. 設計

## 3.1 下部工の設計

## (1) 下部構造選定

計画地は、下総台地と呼ばれる洪積台地、台地上は樹枝上に発達する沖積低地となる。

橋梁計画位置の地表面付近に分布する土質は、N 値が 10 未満の緩い砂細層であり、下部工床付け位置はこの層に位置することから直接基礎では支持力不足となる。このため基礎は、地表面より 10 m 程度下層の N 値 30 以上となる砂礫層に支持層を求めた杭基礎とした。

また、支持層までの深さから吊床版の水平力に対する杭基礎のみの橋台形式は杭本数の増加や橋台背面の地山条件に伴う掘削土量の増加により、本橋の橋台形式には適さな



表-2 小規模吊橋指針に示された設計集中荷重

| 吊床版橋の幅員                            | 総荷重                  | 前輪荷重                 | 後輪荷重                 | 前輪輪帶幅(cm) | 後輪輪帶幅(cm) | 車輪接地長(cm) |
|------------------------------------|----------------------|----------------------|----------------------|-----------|-----------|-----------|
| 1.8 m < W < 2.5 m<br>W : 吊床版橋の有効幅員 | 50 kN<br>(5 000 kgf) | 10 kN<br>(1 000 kgf) | 15 kN<br>(1 500 kgf) | 12        | 30        | 17        |

これを準用し管理用車両として総重量 50 kN とした。

### ③温 度

温度の影響は、これまでの実績の約 80 % の橋が ± 15 °C としており、その他は ± 20 °C としている。本橋梁は、架設地点が内陸部であり、冬期は冷え込み、夏期は気温が上昇するため、± 20 °C を採用した。

### ④吊床版取付け部構造

吊床版取付け部構造は、初期に建設された橋梁においてはくちばし構造が採用されているが、その後は、ほとんどの橋梁で剛結構が採用されている。本橋梁において取付け部の構造は一般的な剛結構とした。

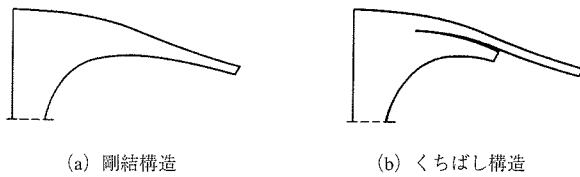


図-7 床版取付け部構造

### ⑤プレキャストセグメントの接合部の構造

プレキャストセグメントの接合部の構造としては、300 mm 程度の間詰め部にコンクリートを打ち込む構造が約 60 %、10 mm 程度の目地に無収縮モルタルなどを注入する構造が約 25 %、同じく 10 mm の目地にエポキシ樹脂系接着剤で接合する構造が約 10 % となっている。本橋梁は接合部の型枠組立てを必要とせず、注入作業が容易な 10 mm の目地に無収縮モルタルを注入する構造とした。

## 3.3 耐震設計

### (1) 概 要

耐震設計は、線形動的解析による応答スペクトル法により解析を行った。また、地盤種別はⅡ種地盤とした。

耐震性能は、本橋梁が地震時には施設間を結ぶ連絡橋となるため、「PC 構造物耐震設計規準（案）社団法人プレストレスコンクリート技術協会」に示される重要度が普通である橋（重要度 C）として設計を行った。

表-3 耐震設計で考慮する地震動と耐震性能

| 耐震設計で考慮する地震動                       | 重 要 度   |                  |                  |                  |
|------------------------------------|---|------------------|------------------|------------------|
|                                    | A   | B                | C                | D                |
| 橋の供用期間中に発生する確率が高い地震動 (L1)          | 耐震性能 1  | 耐震性能 1           | 耐震性能 1           | 耐震性能 2           |
| 橋の供用期間中に発生する確率は低いが大きな強度をもつ地震動 (L2) | タイプ I (プレート境界型の大規模な地震)<br>タイプ II (兵庫県南部地震のような内陸直下型地震) | 耐震性能 1<br>耐震性能 2 | 耐震性能 2<br>耐震性能 3 | 耐震性能 3<br>耐震性能 4 |

耐震性能 1：地震後の構造物や部材の機能が健全で、補修を必要としないで供用可能。

耐震性能 2：地震後の構造物や部材の機能が期待でき、軽微な補修で機能回復が図れる。

耐震性能 3：耐震性能 2 よりは大きな損傷を許容するが、地震後の構造物や部材の機能が期待でき、補修や補強で機能回復が図れる。

耐震性能 4：機能回復は期待できないが構造物全体は崩壊しない。

### (2) 解析モデル

解析モデルは、上部工の振動特性および下部工に作用する水平力を考慮して決定した。下記に解析条件、図-8 に解析モデルを示す。

#### 解析条件

①吊床版は大きな軸力が作用するため、この影響を考慮して PC 鋼材をモデル化し、1 次、2 次ケーブルのプレストレスを考慮した。

②コンクリートヤング係数 :  $3.1 \times 10^4 \text{ N/mm}^2$

PC 鋼材ヤング係数 :  $2.0 \times 10^5 \text{ N/mm}^2$

減衰定数 : 0.05

③加速度応答スペクトルの地域補正係数  $C_Z = 1.0$

減衰常数別補正係数  $C_D = 1.0$

④載荷荷重は自重（床版自重、地覆、高欄、添架物、橋面荷重）とする。

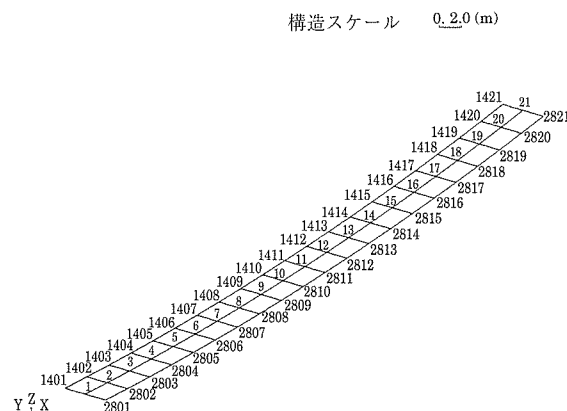


図-8 解析モデル

### (3) 解 析 結 果

解析は、橋軸方向加震・橋軸直角方向加震について行った。図-9 にレベル 2 タイプ II における断面力算出結果を示す。また、固有振動数は 1.1 Hz 程度であった。一般に歩行者の歩調は 2.0 Hz 程度であるため<sup>2)</sup>、共振して歩行者に不快感を与えることはないと判断できる。

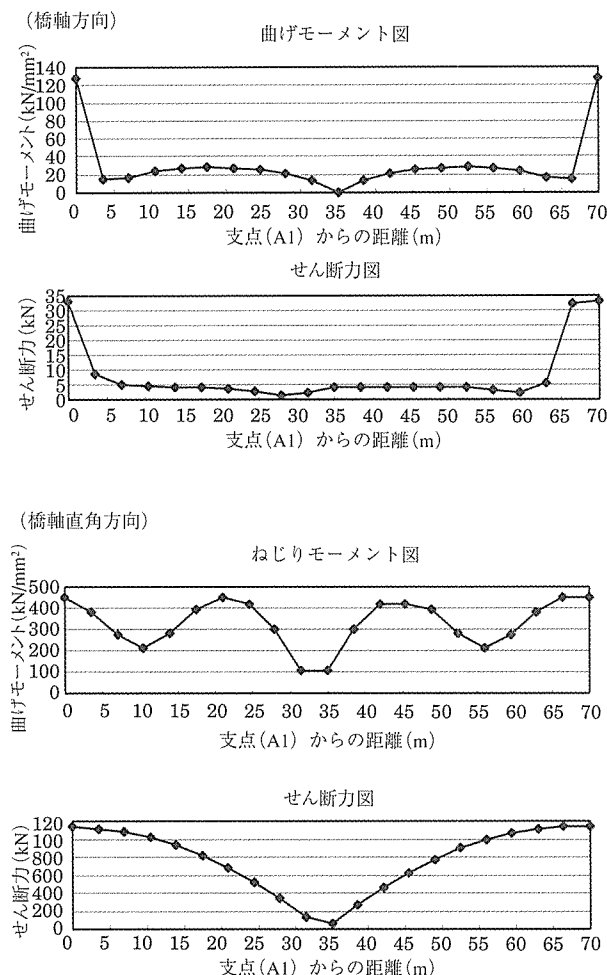


図-9 断面力算出結果（レベル2タイプII）

#### (4) 主桁断面耐荷性能の照査

断面の耐荷性能の照査は、主桁の曲げモーメントとねじりモーメントについて照査を行った。

##### ①曲げモーメントに対する照査

算出された床版の変動応力と床版の応力状態を示す。

表-6より、発生する引張応力度 ( $2.09 \text{ N/mm}^2$ ) は、主桁コンクリートの引張強度 ( $2.69 \text{ N/mm}^2$ ) 以下であるため、

表-5 床版変動応力

| 種類          | モーメント |                      | 床版変動応力 |  |
|-------------|-------|----------------------|--------|--|
|             | kN·m  | (N/mm <sup>2</sup> ) |        |  |
| レベル1        | 4.1   | 0.14                 |        |  |
| レベル2, タイプI  | 14    | 0.49                 |        |  |
| レベル2, タイプII | 28.1  | 0.98                 |        |  |

表-6 床版の応力状態

|                     | レベルI  |      | レベル2タイプI |      | レベル2タイプII |      |
|---------------------|-------|------|----------|------|-----------|------|
|                     | 上縁    | 下縁   | 上縁       | 下縁   | 上縁        | 下縁   |
| 全死荷重時               | 1.39  | 7.67 | 1.04     | 8.02 | 0.55      | 8.51 |
| 全死荷重時+ $\Delta T$   | 2.6   | 8.08 | 2.25     | 8.43 | 1.76      | 8.92 |
| 全死荷重時- $\Delta T$   | 0.06  | 7.15 | -0.29    | 7.5  | -0.78     | 7.99 |
| 活荷重全載荷時             | -0.74 | 4.95 |          |      |           |      |
| 活荷重全載荷時+ $\Delta T$ | -0.77 | 5.42 |          |      |           |      |
| 活荷重全載荷時- $\Delta T$ | -2.09 | 4.36 |          |      |           |      |

橋軸方向の地震動が作用した場合でも問題ないことが確認できた。

##### ②ねじりモーメントに対する照査

算出されるせん断応力度、斜引張応力度を表-7、PC鋼材応力度を表-8に示す。

表-7 せん断および斜引張応力度

| 種類          | モーメント | せん断応力                | 斜引張応力                |
|-------------|-------|----------------------|----------------------|
|             | kN·m  | (N/mm <sup>2</sup> ) | (N/mm <sup>2</sup> ) |
| レベル1        | 66.0  | 1.190                | 0.293                |
| レベル2, タイプI  | 224.5 | 4.046                | 2.372                |
| レベル2, タイプII | 450.5 | 8.119                | 6.164                |

表-8 PC鋼材応力度

| 種類          | モーメント | 鋼材応力                 |
|-------------|-------|----------------------|
|             | kN·m  | (N/mm <sup>2</sup> ) |
| レベル1        | 66.0  | 21.4                 |
| レベル2, タイプI  | 224.5 | 72.8                 |
| レベル2, タイプII | 450.5 | 146.2                |

死荷重時の鋼材応力度は 1次ケーブル :  $870.24 \text{ N/mm}^2$

2次ケーブル :  $981.96 \text{ N/mm}^2$

と算出されており、これに鋼材応力  $146.2 \text{ N/mm}^2$  を加えても PC鋼材の降伏点強度  $1600 \text{ N/mm}^2$  以下となり、問題ないことが確認できた。

上記検討結果より、以下のように耐震性能を確認できた。

レベル1およびレベル2タイプIの地震では、斜引張応力度がコンクリートの引張強度を満足していることからひび割れ発生の確率は低いと考えられる。したがってレベル1の地震では耐震性能1を満足する。

レベル2タイプIIの地震については、斜引張応力度がコンクリートの引張強度を超えており、しかし、PC鋼材の応力度は降伏点以下であり橋梁の崩壊などは生じない。したがって耐震性能4を満足する。

#### 3.4 耐風設計

##### (1) 照査概要

耐風性能の照査フローを図-10に示す。

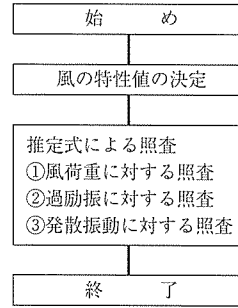


図-10 照査フロー

##### (2) 風の特性値

耐風設計で想定する風の特性値は、限界状態に応じた風速の再現期間、建設地点の地理的位置、地表の粗度条件、橋の高度、風上の構造物などを考慮して決める。本橋の設

計では設計基準風速を 40 m/s とした。

### (3) 耐風性能の検討

#### ①風荷重に対する照査

PC 吊床版設計施工規準（案）によると単径間の直路式吊床版橋において、下式を満足する場合は検討を省略してよいとある。

$$L/B < 30$$

ここに、 $L$ ：吊り支間（m）

$B$ ：軸体部分の総幅員（m）

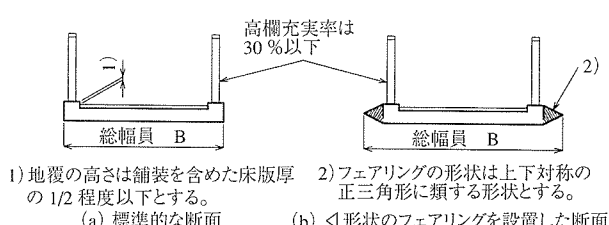
本橋梁については橋長  $L = 70.0\text{m}$ ・幅員  $B = 4.3\text{m}$  より、

$$L/B = 70/4.3 = 16.3 < 30$$

で風荷重に対して問題ないと判断し、検討を省略する。

#### ②渦励振に対する照査

PC 吊床版設計施工規準（案）によると単径間の直路式吊床版橋において、断面形状が図-11に類似する場合は検討を省略してよいとある。



しかし本橋梁は形状は類似しているが、地覆高さが一般に比べ高いため渦励振の照査を行なった。

吊床版の渦励振の照査対象は鉛直たわみモードとねじれモードの渦励振を対象とし、たわみ渦励振の発生風速とねじれ渦励振の発生風速を算出、設計耐用期間内に数回程度受ける大きさの風速以下の場合は疲労に対する検討を行うものとする。以下に算出結果を示す。

表-9 渦励振の発生風速および振幅

|        | 発生風速 (m) | 発生振幅 (m) |
|--------|----------|----------|
| たわみ渦励振 | 7.7      | 0.0022   |
| ねじれ渦励振 | 4.7      | 0.0002   |

発生風速をみると低風速であることから、渦励振による振動が発生する可能性が高い。しかし発生する振動は、活荷重による変位が 0.057 m であるのに対し小さい値であることから、鋼材の応力変動も小さくなる。したがって、渦励振による構造への影響は問題ない。

#### ③発散振動に対する照査

直路式吊床版のねじれフランジャーの発現風速は 30.7 m/s と算出され、設計基準風速 40 m/s を満足していない。しかし、ねじりモーメントに対してはタイプ 2 レベル。の地震動に対して問題ないことが確認されており、構造性について問題ないと考えられる。したがって、通常の台風に関しては地表面の粗度やねじり耐荷力等を考慮して問題ないと判断した。

## 4. 施工検討

橋梁の施工に先立ち、施工時期、現場状況、断面形状等を考慮して各種検討を行った。以下にその概要を示す。

### 4.1 施工手順検討

設計計算では、床版ケーブルの水平力に対して下部工の設計を行いグランドアンカーが負担する水平力を決定している。しかし、実施工においては、一次ケーブルを緊張し床版を架設して二次ケーブルを緊張する。一次ケーブルの緊張前にグランドアンカーを全数緊張した場合、下部工が許容値を満足しなくなる。したがって、グランドアンカーと一次、二次ケーブルの緊張力を考慮して、下部工が許容値を満足するように施工ステップを決定する必要がある。

図-12 に施工計算により決定された施工ステップを示す。

|  |                |             |
|--|----------------|-------------|
| ①グランドアンカー第1段階緊張  | サグ量(m)         | 0.071m      |
| ②1次ケーブル架設  | 1次ケーブル張力(tf)   | 560.7t      |
| ③グランドアンカー第2段階緊張  | 2次ケーブル張力(tf)   | ---         |
|  | 1次ケーブル荷重(tf/m) | 0.0877 tf/m |
| 特記事項: 1次ケーブル100%緊張   |                |             |
| ④プレキャスト床版架設  | サグ量(m)         | 2.046m      |
| ⑤目地工   | 1次ケーブル張力(tf)   | 887.1t      |
| ⑥現場打ちコンクリート打設直後  | 2次ケーブル張力(tf)   | ---         |
| 特記事項: 温度考慮(5°C)<br>グラウト重量控除(5%)<br>設計サグ量: 2.011 m (時期考慮)<br>実測サグ量: 2.028 m                 |                |             |
| ⑦2次ケーブル仮緊張   | サグ量(m)         | 1.728m      |
| ⑧グランドアンカー第3段階緊張  | 1次ケーブル張力(tf)   | 851.3t      |
| ⑨2次ケーブル本緊張   | 2次ケーブル張力(tf)   | 1350.0t     |
| 特記事項: 2次ケーブル100%緊張<br>温度考慮(5°C)<br>グラウト重量控除(5%)<br>設計サグ量: 1.688 m (時期考慮)<br>実測サグ量: 1.681 m |                |             |
| ⑩橋面工施工直後   | サグ量(m)         | 1.760m      |
|  | 1次ケーブル張力(tf)   | 860.0t      |
|  | 2次ケーブル張力(tf)   | 1362.5t     |
|  | 橋面荷重(tf/m)     | 0.5150 tf/m |
| 特記事項: クリープ・乾燥収縮未考慮<br>温度考慮(5°C)<br>設計サグ量: 1.657 m (時期考慮)<br>実測サグ量: 1.664 m                 |                |             |

図-12 施工ステップおよびサグ量

### 4.2 ステップごとのサグ量検討

温度、添架物架設時期を考慮した、ステップごとのサグ量算定し、実測値と比較しながら施工を行った（図-12）。

また、設計計算書では設定温度を 15 °C としていたが、施工時期が 11 月からとなり温度による影響が大きく出ることとなったため、施工時期にあわせ温度補正を行いサグ量を算出した。

### 4.3 2次ケーブル緊張時の検討

セグメント接合部における地覆部（以下、地覆目地）の施工を床版部と同時に行った場合、床版と地覆が一体となった剛性を有する結果となる。しかし、床版のみの剛性を考慮した設計計算とは違った挙動を呈することが懸念された。そこで、地覆断面形状を考慮した 2 次元 FEM 非線形解析を行い接合部の施工による影響を検討した。以下にその検討内容と結果を示す。

## (1) 検討モデル

図-13に示す検討モデルを用いて、2次ケーブルの緊張力によるサグ変化を段階的に考慮した幾何学的非線形解析により検討を行う。



図-13 検討モデル

## (2) 検討ケース

検討ケースは以下の4ケースとした。

ケース1：地覆目地に伸縮目地を設けない

ケース2：地覆目地に伸縮目地を設けたもの

ケース3：橋台部より5箇所の地覆目地に伸縮目地を設けたもの

ケース4：ケース3+中間部にも6.4m間隔で地覆目地に伸縮目地を設けたもの

## (3) 検討結果

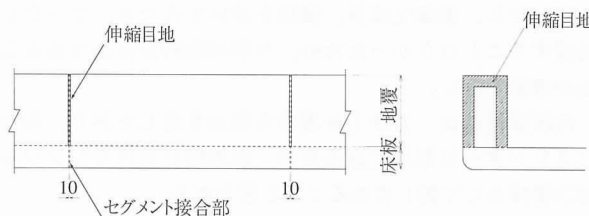


図-14 伸縮目地詳細図

## (1) サグ量に対する影響

2次ケーブル緊張におけるサグ量を表-9に示す。

表-9 設計サグ量 (単位: mm)

|           | ケース1 | ケース2 | ケース3 | ケース4 | 設計計算書 |
|-----------|------|------|------|------|-------|
| 支間中央部のサグ量 | 190  | 236  | 224  | 230  | 252   |

ケース2が設計計算書と同一のモデルであり、解析手法の違いがあるので数値に少し差異が見られるが、ほぼ同一と考えられる。

## (2) 橋台部場所打ち床版に対する影響

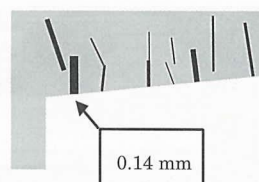
図-15に各検討ケースの橋脚基部のひび割れ性状および最大ひび割れ幅を示す。

ケース1に示す床版と地覆を一体化したモデルで解析した場合、橋台基部の床版付け根付近に多数のひび割れ（最大0.14 mm）が発生することが確認された。一方、橋台付近および支間部に伸縮目地を設けたケースにおいてはひび割れの改善が大幅にできることを示している。

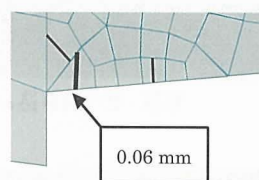
サグ量についてはケース1では190 mmであるものが、伸縮目地を設けることにより230 mm程度となり設計値の252 mmとほぼ同程度のサグ量となることが確認できた。

以上の検討結果を踏まえ、実施工においては設計計算書に示されるサグ量と大差なく、しかも橋台部床版に影響を与えないケース4、すなわち2次ケーブル緊張後に地覆目

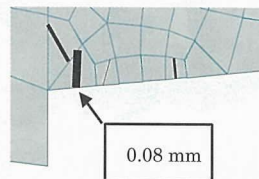
ケース1



ケース2



ケース3



ケース4

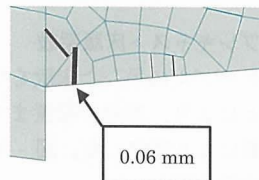


図-15 橋梁基部の性状

地の間詰めを行い、橋台部付近と6.4 mごとに1箇所の伸縮目地を設けるケースを採用した。伸縮目地には床版橋の挙動に対応できる弾性材を挟み、表面をシール材で覆った。

## 5. 施工

## 5.1 架設概要

吊床版構造の施工実績は懸垂架設方法によるものが90%を占めている。また、本橋の架橋位置は、希少生物の生息が確認された近傍の地域であったことから、橋梁下部の環境に対しての配慮が重要視された。したがって、架橋下部の環境保護と安全施工という点から、本橋梁の架設も懸垂架設方法にて施工を行った。

## 5.2 一次ケーブル組立・緊張

下部工場所打ち部施工後、ワインチを各橋台に設置し、ワイヤーフックにてつなぐことで1本の縦移動装置とした。このワイヤーフックを使用して一次ケーブルを架設し緊張をおこなった。写真-2に定着部とワインチの設置状況を示す。

## 5.3 プレキャスト床版架設

## (1) プレキャスト床版搬入

床版をA1橋台背面まで搬入、クレーンにて横取装置におろしてから一次ケーブル直下まで横移動の後、再度クレーンにて吊り上げ一次ケーブルに吊り替えた。プレキャスト床版の横移動の状況を写真-3に示す。

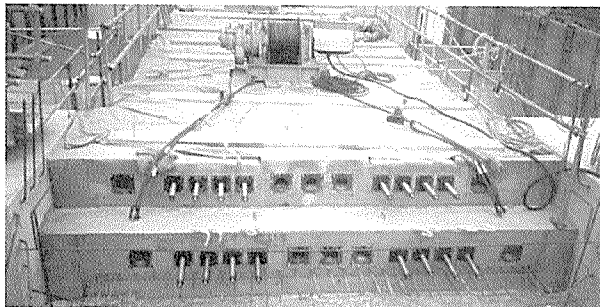


写真-2 引き込み用ウィンチ

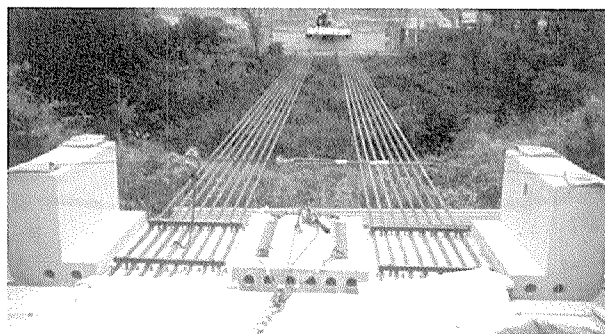


写真-4 架設状況



写真-3 横移動状況

#### (2) プレキャスト床版架設

一次ケーブルに吊した床版をウインチとワイヤーを使用することにより、所定の位置まで縦移動して固定金具および調整板により固定した。図-16に架設要領図、写真-4に架設状況を示す。

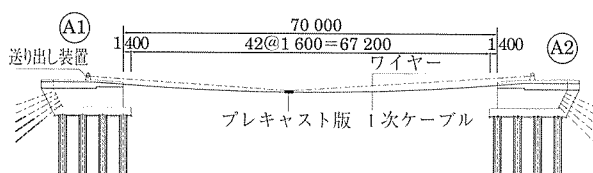


図-16 架設要領図

本橋は上述の方法にて、総計42枚のプレキャスト床版架設を行った。以降の作業については施工手順の項にて述べたフローに基づき順次施工を行い、吊床版橋の施工を完了した。

#### 6. おわりに

今回、事前にいろいろな検討を行ったが、ひび割れ等の不具合はなく、サグ量も計算値とほぼ一致した結果が得られた。また、橋梁完成後、橋梁を歩いてみたが、まったく共振することはなかったため、今回の検討が妥当であることが確認できた。

吊床版構造は、力学上合理的な構造を有しており、非常にスレンダーな形状であるため、本施設におけるシンボル的な橋梁として親しまれることと思われる。

最後に、本橋梁の設計・施工を行うにあたり数々のご指導とご援助いただきました、関係各位に深く感謝の意を表します。

#### 参考文献

- 1) (社)プレストレスコンクリート技術協会：PC吊床版橋設計施工規準（案）(2000.11)
- 2) (社)日本道路協会：立体横断施設技術基準・同解説（1979.1）

【2003年11月28日受付】